



# Quantificando Sítios Ácidos em Zeólitas de Estrutura MFI: Uma Abordagem Didática por Titulação Volumétrica

Gabriel de F. Lopes<sup>1\*</sup>, Luan Vinicius C. de Oliveira<sup>1</sup>, Elisabete M. Assaf<sup>1</sup>, Luiz H. Vieira<sup>1\*</sup>

<sup>1</sup>Instituto de Química de São Carlos - Universidade de São Paulo (IQSC-USP), São Carlos, Brasil. gabrielfreitaslopes@usp.br, lhvieira@iqsc.usp.br.

## Resumo/Abstract

RESUMO - Este trabalho aborda a possibilidade de determinação da acidez da zeólita ZSM-5 de estrutura MFI por meio de titulação volumétrica, visando sua aplicação em práticas de ensino. Uma zeólita protonada (razão Si/Al = 11,5) foi tratada com NaOH 0,01 M para neutralização dos sítios de Brønsted e o excesso de OH em solução foi titulado para quantificação indireta da acidez. Posteriormente, o sólido neutralizado foi caracterizado por TGA, DRX, TPD-NH<sub>3</sub> e fisissorção de N<sub>2</sub>. Os resultados mostraram que a zeólita H-ZSM-5 possui acidez de 0,85 mmol.g<sup>-1</sup>, porém notou-se a presença de sítios ácidos remanescentes no material neutralizado (~12%), assim como a degradação estrutural da zeólita, com redução da área superficial e perda de microporosidade. A metodologia se mostra eficiente para estimar a acidez de forma didática, ainda que de forma destrutiva.

Palavras-chave: Zeólita MFI, acidez, titulação volumétrica, troca iônica, caracterização estrutural.

ABSTRACT - This work explores the possibility of determining the acidity of ZSM-5 zeolite with MFI structure through volumetric titration, aiming at its application in teaching practices. A protonated zeolite (Si/Al ratio = 11.5) was treated with 0.01 M NaOH to neutralize the Brønsted acid sites, and the excess OH in solution was titrated to indirectly quantify the acidity. Subsequently, the neutralized solid was characterized by TGA, XRD, NH<sub>3</sub>-TPD, and N<sub>2</sub> physisorption. The results showed that H-ZSM-5 zeolite has an acidity of 0.85 mmol.g<sup>-1</sup>, but residual acid sites (~12%) were observed in the neutralized material, as well as structural degradation of the zeolite, with a reduction in surface area and loss of microporosity. The methodology proves to be effective for estimating acidity in a didactic manner, although it is destructive. Keywords: MFI zeolite, acidity, volumetric titration, ion exchange, structural characterization.

# Introdução

As zeólitas contribuem para o entendimento de propriedades ácidas em sólidos. A presença do alumínio (AlO<sub>4</sub>) introduz uma densidade de carga negativa sobre a estrutura, que pode ser compensada por prótons, originando sítios ácidos de Brønsted.(1)

Os métodos comumente utilizados para quantificação da acidez em zeólitas envolvem aparato instrumental complexo, como dessorção em temperaturas programadas e análises espectroscópicas de moléculas sonda.(2)

Uma das possibilidades de simplificar o processo de quantificação da acidez em zeólitas vem das propriedades de troca iônica que esses sólidos apresentam quando suspensos em solução. O próton (H<sup>+</sup>) pode ser introduzido na estrutura por métodos convencionais de protonação com cloreto ou nitrato de amônio, podendo assim ser quantificado por titulação volumétrica.(3)

O trabalho busca quantificar sítios ácidos de Brønsted em zeólitas empregando a titulação volumétrica, a fim de produzir um roteiro experimental aplicado à graduação.

#### Experimental

## Troca iônica com cloreto de amônio

5 g de ZSM-5 (Si/Al = 11,5) foi dispersa em 100 mL de NH<sub>4</sub>Cl 1M, sob agitação a 600 rpm por 2 h à temperatura ambiente. A mistura foi centrifugada a 15000 rpm por 15 min e o sobrenadante foi removido. Após a terceira troca o material foi centrifugado e

lavado com água destilada. A zeólita foi seca em estufa a 95 °C por 24 h, macerada, peneirada e calcinada a 550 °C a 2 °C.min $^{-1}$ .(4)

#### Titulação volumétrica

 $200\,\mathrm{mg}$  de H-ZSM-5 foi disperso em  $20\,\mathrm{mL}$  de NaOH (0,01 M - pH 11,8) sob agitação a 600 rpm por 15 min à temperatura ambiente. A mistura foi centrifugada a 15000 rpm por 15 min. O sobrenadante foi transferido para um erlenmeyer e a zeólita foi seca em estufa a 95 °C por 24 h. O sobrenadante foi titulado com HCl (0,01 M) previamente padronizado e 3 gotas de fenolftaleína como indicador. Uma amostra em branco foi conduzida.(5) A acidez foi determinada de acordo com a Equação 1.

$$Acidez (mmol. g^{-1}) = \frac{{}^{M}_{HCl(mmol/L)} \cdot f_c \cdot (V_{b(L)} - V_{t(L)})}{{}^{M}_{Amostra(g)}}$$
(1)

#### Caracterização

Conduziu-se análise termogravimétrica (TGA), difração de raios x (DRX), dessorção de amônia a temperatura programada (TPD-NH<sub>3</sub>) e fisissorção de N<sub>2</sub> na zeólita pré e pós titulação.

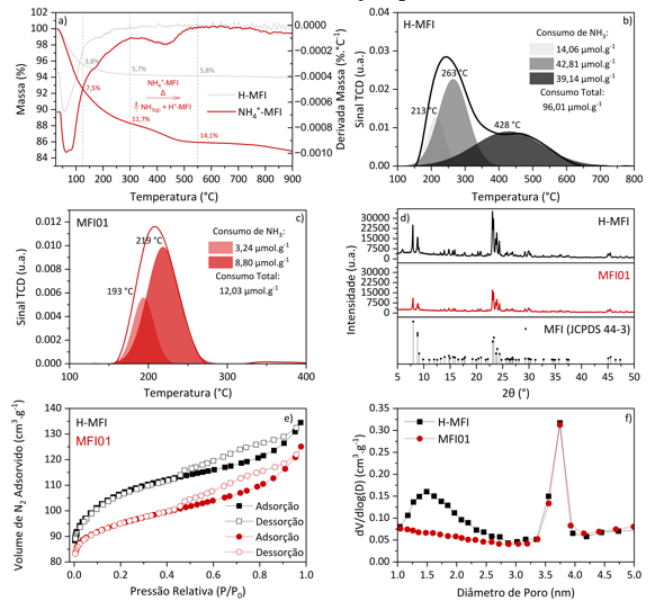
#### Resultados e Discussão

A zeólita protonada apresentou uma acidez de 0,85 mmol.g<sup>-1</sup>, dentro de resultados já apresentados na literatura.(6)

Nas curvas TGA (1a), H-MFI apresenta perda de massa de 5,8%, associados à remoção de água e NH<sub>4</sub><sup>+</sup>-MFI a perda de massa de 14,1%, está associada a decomposição dos cátions amônio para a formação dos sítios ácidos.(7)



Na análise de TPD-NH<sub>3</sub>, H-MFI (1b) exibiu picos em 213 °C, 263 °C e 428 °C, referente aos sítios ácidos fracos, médios e fortes, respectivamente, com consumo de 96,01 μmol.g<sup>-1</sup>.(8) Após a titulação (1c), observou-se redução do consumo de amônia (12,03 μmol.g<sup>-1</sup>) e ausência de sítios fortes, confirmam sua neutralização parcial.



**Figura 1.** Caracterização da acidez e estrutura. (a) TGA; (b, c) TPD-NH<sub>3</sub>; (d) DRX; (e) Fisissorção de N<sub>2</sub>; (f) Diâmetro de poros.

No DRX (1d), H-MFI exibe picos de difração definidos e intensos na região de  $2\theta$  entre  $7^{\circ}$  e  $9^{\circ}$  e  $22^{\circ}$  e  $25^{\circ}$ , característicos da estrutura MFI, conforme o padrão JCPDS 44-3.(9) Após o tratamento alcalino (MFI01) observa-se redução na intensidade dos picos, indicando a perda parcial da cristalinidade associada à destruição da estrutura MFI. Já nas isotermas de fisisorção de  $N_2$ , H-MFI (1e) apresenta isotermas do tipo I e IV, características de estruturas micro-mesoporosas com histerese do tipo H4.(10) Já a isoterma da MFI01 apresenta aumento do volume adsorvido e histerese mais acentuada.

Na distribuição do diâmetro de poros (1f), H-MFI apresenta picos entre 1 e 2,5 nm, referente a presença de microporos na zeólita, ausente na MFI01 devido a sua destruição após titulação com a solução básica. O pico em 3,8 nm é uma característica da cavitação do adsorvato durante a redução da pressão até 0,45, e não representa a existência de mesoporos no material.(11)

Na Tabela 1, H-MFI, apresenta valores compatíveis com uma zeólita do tipo MFI bem estruturada e microporosa.

Tabela 1. Propriedades texturais das amostras.

Amostra	Área de Superfície (m².g-¹)	Volume de Poros (cm <sup>3</sup> .g <sup>-1</sup> )
H-MFI	183,13	0,11
MFI01	139,19	0,09



Após o tratamento com NaOH (MFI01), observa-se uma redução significativa na área superficial e no volume de poros, evidenciando a desestruturação da rede microporosa da zeólita, associada à dissolução do silício da MFI em meio básico.

#### Conclusões

A redução da área superficial, intensidade dos picos de difração e acidez, evidenciada pelas análises de fisissorção de  $N_2$ , DRX e TPD-NH<sub>3</sub>, indica que o tratamento alcalino não apenas neutralizou os sítios ácidos de Brønsted, como também diminuiu significativamente o número total desses sítios, em decorrência da deterioração estrutural, auxiliando na formação de mesoporos.

Embora o uso de NaOH seja eficiente para a neutralização da acidez, ele compromete propriedades texturais da zeólita, mas ainda pode ser considerado como um método destrutivo de determinação de acidez de zeólitas.

## Agradecimentos

Agradecemos ao Programa Unificado de Bolsas da USP pelo apoio financeiro e ao CNPq pelos materiais e equipamentos utilizados no Laboratório de Catálise Heterogênea.

#### Referências

- L. L. Silva; D. Cardoso; C. Sievers; L. Martins, J. Phys. Chem. C. 2020, 4, 2439-2449.
- 2. M. Boronat; A. Corma, ACS Catal. 2019, 9, 1539-1548.
- 3. G.N. Vayssilov; H.A. Aleksandrov; E. Dib; I.M. Costa; N. Nesterenko; S. Mintova, *Microporous Mesoporous Mater.* **2022**, *343*, 112144.
- J. Mokrzycki; M. Fedyna; M. Marzec; R. Panek; J. Szerement; L. Marcińska-Mazur; R. Jarosz; T. Bajda; W. Franus; M. Mierzwa-Hersztek, *J. Water Process Eng.* 2022, 50, 103299.
- O. V. Zikrata; O. V. Larina; D. Y. Balakin; Y. M. Nychiporuk; I. Khalakhan; M. Švegovec; J. Volavšek; P. S. Yaremov; S. O. Soloviev; S. M. Orlyk, *Chem. Cat. Chem.* 2024, 16, e202400068.
- A. Kostyniuka; D. Bajeca; B. Likozara, J. Ind. Eng. Chem. 2021, 96, 130-143.
- A. Al-Mamoori; U. A. Saed; A. A. Saoud; M. F. A. Jabbar;
  A. Jasim; H. S. Majdi; A. Hanif; P. Iacomi. *ACS Omega*. 2025, 10, 20129-20141.
- A. Parra-Marfil; R. Ocampo-Pérez; C. G. Aguilar-Madera;
  F. Carrasco-Marín; A. F. Pérez-Cadenas; A. Bueno-López;
  E. Bailón-García. *Environ. Sci. Pollut. Res.* 2024, 31, 32766-32783.
- 9. X. Xiao; B. Sun; P. Wang; X. Fan; L. Kong; Z. Xie; B. Liu; Z. Zhao, *Microporous Mesoporous Mater.* **2022**, *330*, 111621
- L. L. Silva; B. R. Florindo; G. L. Catuzo; I. W. Zapelini; J. V. S. Cardoso; F. M. T. Luna; C. L. Cavalcante Jr; L. Martins. *Mol. Catal.* 2022, *529*, 112557.
- 11. J. C. Groen; L. A. A. Peffer; J. Perez-Ramırez, *Microporous Mesoporous Mater.* **2003**, *60*, 1-17.